

**М.Ю. Каховський**

Інститут електрозварювання ім. Є.О. Патона НАН України, Київ

## ІННОВАЦІЙНА ТЕХНОЛОГІЯ МЕХАНІЗОВАНОГО МОКРОГО ПІДВОДНОГО ЗВАРЮВАННЯ ВИСОКОЛЕГОВАНОЇ КОРОЗІЙНОСТІЙКОЇ СТАЛІ



Викладено результати проведення зварюально-ремонтних робіт самозахисним порошковим дротом при мокром підводному зварюванні високолегованих корозійностійких сталей типу 18-10. Застосування даної технології дає змогу зменшити участь людини в процесі зварювання в екстремальних умовах. Практична цінність цієї технології полягає в можливості виконання зварюально-ремонтних робіт безпосередньо під водою без будь-яких додаткових монтажних робіт.

**Ключові слова:** мокре підводне зварювання, сталь 12Х18Н10Т, АЕС, самозахисний порошковий дріт, FCAW, покриті електроди.

Для проведення зварюально-ремонтних робіт і технічного обслуговування обладнання і трубопроводів при видобутку нафти й газу з морського дна, виконанні суднопідйомних і судноремонтних робіт, виготовленні елементів гідротехнічних та портових споруд, а також елементів енергетичного обладнання широко застосовують підводне зварювання.

Більшість елементів технічного обладнання виконано з низьколегованих конструкційних сталей. Однак з огляду на низькі антикорозійні властивості низьколегованих сталей у виготовленні оснащення все ширше застосовується високолегована корозійностійка сталь.

Одним з основних об'єктів застосування підводного зварювання високолегованих корозійностійких сталей є басейни для зберігання відпрацьованого ядерного палива на АЕС.

Після вивантаження з активної зони реактора тепловиділяючі елементи витримують у басейні для зберігання відпрацьованого ядер-

ного палива протягом 2–5 років для зменшення залишкового енерговиділення. Басейни – це заповнені прісною водою бетонні конструкції глибиною близько 25 м, облицьовані високолегованою хромонікелевою корозійностійкою сталлю типу 18-10 товщиною 3–5 мм. Під час операцій завантаження/вивантаження тепловиділяючих елементів досить часто виникають механічні пошкодження в обшивці корпусу басейну. Несвоєчасний ремонт призводить до витоку радіоактивної води, що може привести до екологічної катастрофи.

Через високий рівень радіації доступ обслуговуючого персоналу до обладнання, що знаходиться в безпосередній близькості до реактора АЕС, обмежений. При ремонті або регламентних роботах намагаються максимально застосовувати техніку з дистанційним керуванням. При необхідності використовувати людську працю задача сильно ускладнюється. Одним з можливих шляхів виходу з такої ситуації може слугувати використання водного середовища, яке є природним бар'єром, що зменшує вплив

радіоактивного випромінювання на водолаза при виконанні зварювально-ремонтних робіт.

Перші спуски людини під воду в таких умовах відносяться до середини 1970-х років, коли перші АЕС в США досягли середини терміну експлуатації [1]. Уперше зварювання під водою застосували через 10 років на Пенсильянській АЕС [2], оснащений реакторами на киплячій воді потужністю 1050 МВт. У 1984 р. під час завантаження палива візуальний контроль виявив втомну тріщину в корпусі паросушувача. Рівень радіації на поверхні корпусу становив 1 бер/год, на відстані 46 см — 0,5 бер/год. Для зниження дози опромінення було прийнято рішення виконати ремонт комбінованим способом — приміщення заповнили водою і водолаз виконав обробку крайок під зварювання. Потім воду злили, а дефектну ділянку заварили вручну неплавким електродом.

У 1987 р. під час чергової операції по завантаженню паливом була виявлена ще одна втомна тріщина в корпусі парогенератора довжиною 1400 мм [2]. Прилади зафіксували високий рівень радіації навіть у заповненому водою стані (на поверхні металу — 6 бер/год, а на відстані 30 см — 1,5 бер/год). З можливих варіантів ремонту у таких умовах вибрали мокре підводне зварювання покритими електродами. Приміщення було заповнене водою, і водолази-зварники виконали необхідний обсяг робіт під водою. Успішне виконання проекту підтвердило придатність мокрого підводного зварювання

покритими електродами як реальній альтернативі традиційним способам ремонту.

Однак дана технологія вимагала багато часу і призводила до значних збитків внаслідок зупинки виробничого циклу атомної електростанції, а також до значного негативного впливу на здоров'я водолаза-зварювальника, який виконував зварювальні роботи в середовищі з високим рівнем радіації. Також слід зазначити, що досить високими були втрати виробництва і внаслідок непланових (повторних) ремонтів, викликаних як недостатнім забезпеченням якості ремонтних робіт, так і недостатнім рівнем надійності обладнання/систем і дій оперативного персоналу [3]. На даний момент асортимент ринку матеріалів для проведення зварювально-ремонтних робіт для мокрого підводного зварювання високолегованих корозійностійких сталей представлений тільки спеціалізованими покритими електродами (табл. 1).

Однак ручне дугове зварювання покритими електродами порівняно з механізованим і автоматизованим способами зварювання характеризується більш низькою продуктивністю виконання зварювально-ремонтних робіт, а також більш низькою якістю зварних швів. Крім того, світові тенденції розвитку зварювально-го устаткування йдуть у напрямку автоматизації (а отже, і механізації) процесу зварювання для повного виключення участі людини в роботах в особливо небезпечних умовах (таких, як підводне зварювання).

Враховуючи економічні реалії атомної енергетики, де година простою АЕС може коштувати півмільйона доларів [1], постала вкрай гостра необхідність створення технології більш оперативного ремонту басейнів для зберігання відпрацьованого ядерного палива.

Оскільки зварювання дротом суцільного перетину в середовищі захисних газів під водою неможливе, то в Інституті електрозварювання (ІЕЗ) ім. Є.О. Патона НАН України було прийнято рішення про розробку технології із застосуванням самозахисного порошкового дроту із високолегованих корозійностійких ста-

**Таблиця 1**  
**Покриті електроди для мокрого**  
**підводного зварювання високолегованих**  
**корозійностійких сталей**

Марка електрода	Діаметр, мм	Країна виробник
Magnum MAG 0310x Eagle	3,2–4,0–4,8	США
Broco Underwater Softouch	3,2–4,0	США
Surweld #33	2,4–3,2	США
Speciality Welds Hammerhead	3,2	Велико-Британія

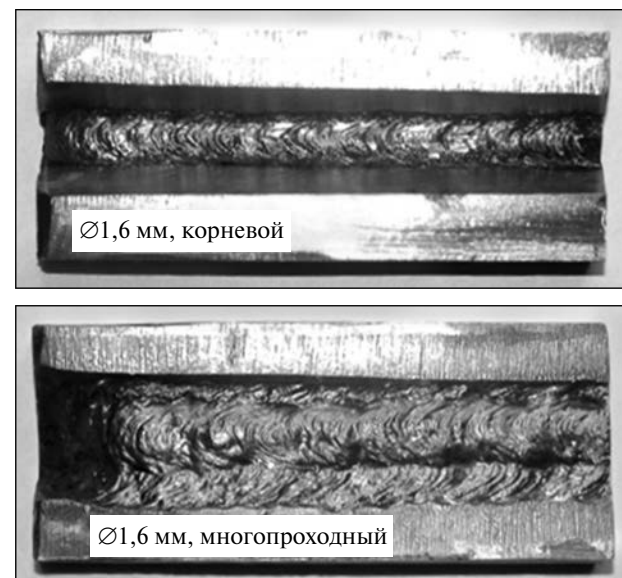
лей типу 18-10 для мокрого підводного зварювання.

Слід зазначити, що на даний час самозахисних порошкових дротів для мокрого підводного зварювання із високолегованих корозійностійких сталей в світі не існує, а дана розробка є першою в світовій практиці.

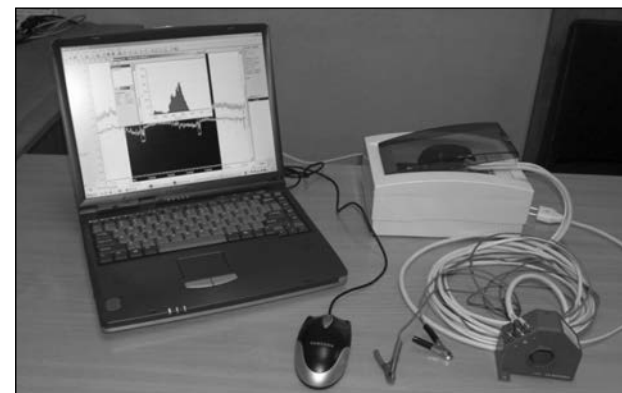
Підводне зварювання має ряд особливостей, відмінних від зварювання на повітрі. При мокрому підводному зварюванні дуга горить в замкнутому об'ємі парогазового міхура, що утворюється за рахунок продуктів дисоціації води, а також згоряння та випаровування плавко-го електрода і зварного виробу [4]. Щільність води в 850 разів більше щільності повітря, теплоємність — в 4 рази, а тепlopровідність — в 25 разів [5]. На дугу, яка горить у водному середовищі, діють два види стиснення (контрагування) — від охолоджуючого впливу і гідростатичного тиску стовпа рідини [6]. Також слід відмітити, що охолоджуюча дія води, підвищений тиск, дисоціація води та її парів призводять до дестабілізації процесу горіння дуги, що в свою чергу призводить до необхідності витрачати більшу потужність на підтримку дугового розряду, ніж у випадку зварювання на повітрі [7, 8]. При зварюванні в умовах радіоактивного середовища використання фізичних властивостей води як природного бар'єру зменшує вплив радіаційного випромінювання на людину.

Підводне зварювання високолегованих корозійностійких сталей має ряд відмінностей від зварювання низьколегованих конструкційних сталей. У низьколегованих стальях перенасичення наплавленого металу воднем призводить до утворення зварювальних дефектів і зниження механічних характеристик зварного шва, в той час як розчинність водню в аустенітному металі досить велика ( $55\text{--}60 \text{ см}^3/100 \text{ г}$ ) і передбуває, як правило, в межах розчинності [4].

Пріоритетним завданням при підводному зварюванні корозійностійких сталей є забезпечення надійного захисту розплавленого металу від окислювального впливу навколошнього середовища. Кисень, взаємодіючи з роз-



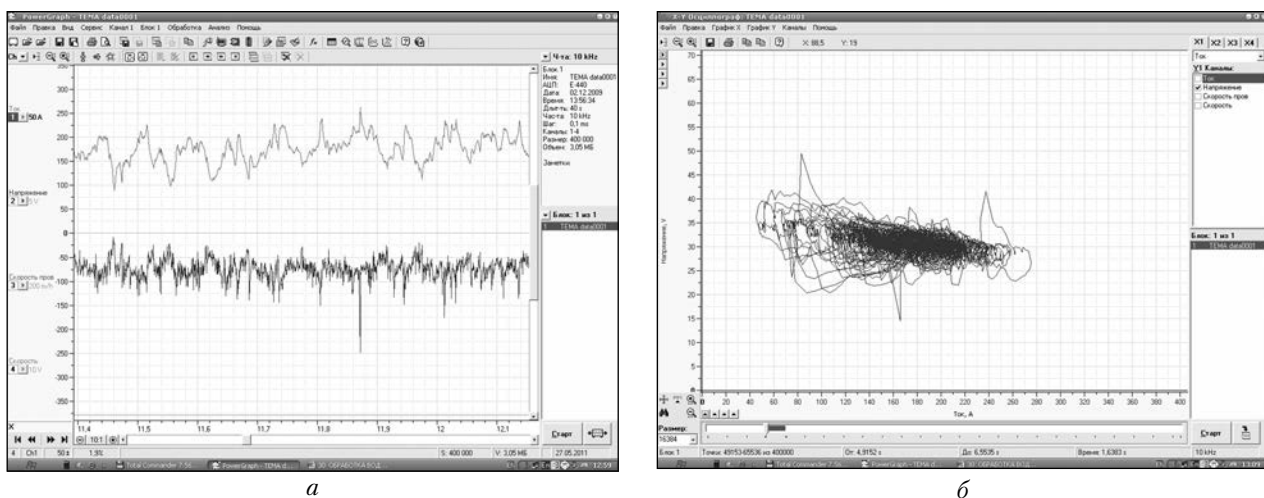
**Рис. 1.** Зовнішній вигляд зварювальних швів при мокрому підводному зварюванні високолегованої корозійностійкої сталі типу 18-10



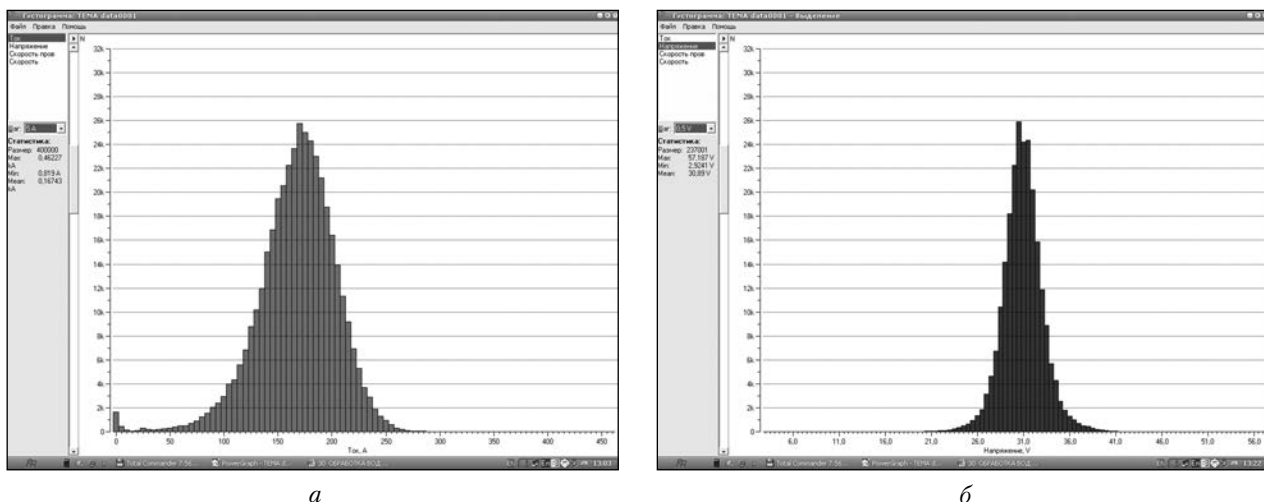
**Рис. 2.** Зовнішній вигляд аналізатора зварювальних процесів марки ASP-19

плавленим металом, як на стадії краплі, так і на стадії ванни сприяє вигорянню високоактивних легуючих компонентів, може проявлятися у вигляді оксидних включень, які негативно впливають на механічні властивості наплавленого металу, а також у вигляді дефектів, таких, як пори. Вміст кисню в металі шва доходить до 0,25 мас. % [4].

На рис. 1 наведено зовнішній вигляд зварювальних швів, виконаних при мокрому підводному зва-



**Рис. 3.** Осцилограми процесу зварювання (а) і ВАХ процесу зварювання порошковим дротом (б)

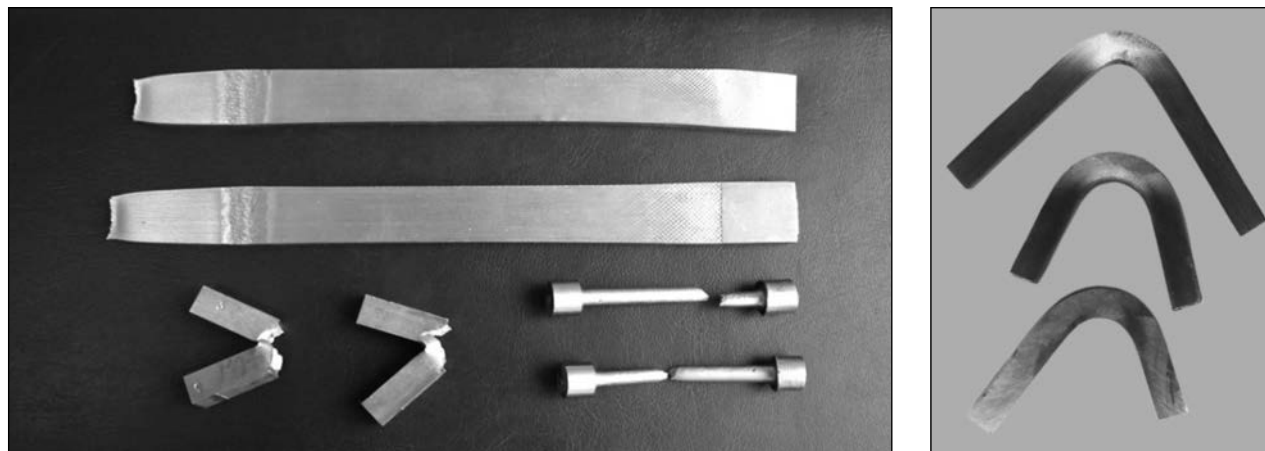


**Рис. 4.** Гістограми зварювального процесу струму (а) і напруги (б)

**Результати хімічного складу наплавленого металу  
при мокрому підводному зварюванні та при зварюванні на повітрі**

**Таблиця 2**

Середовище	Хімічний склад наплавленого металу, мас. %							
	C	Si	Mn	Cr	Ni	Nb	S	P
Повітря	0,06	0,52	1,83	21,83	9,5	0,30	0,015	0,025
Вода	0,04	0,32	1,23	20,90	9,4	0,21	0,018	0,022
ГОСТ 10052-75	0,05–0,12	<1,3	1–2,50	18–22,00	8–10,50	0,70–1,30, але не менше ніж 8•С	<0,020	<0,030



*Рис. 5.* Зовнішній вигляд зразків після механічних випробувань

рюванні дослідним дротом із високолегованої корозійностійкої сталі типу 18-10 (12Х18Н10Т). Зварювання виконувалося самозахисним порошковим дротом діаметром 1,6 мм на постійному струмі зворотної полярності з використанням випрямляча ВДУ-601 (жорстка характеристика) як джерела живлення на режимах:  $U_d = 32-34$  В;  $I_{cb} = 140-160$  А.

Випробування дослідних дротів проводили в спеціальному зварювальному басейні, заповненому водопровідною водою. Оцінку характеристик процесу плавлення і переносу електродного металу, а також стабільність процесу горіння дуги проводили з використанням аналізатора зварювальних процесів ASP-19 (рис. 2). Як видно з осцилограм струму і напруги, а також вольт-амперної характеристики (рис. 3), гістограм струму і напруги (рис. 4), які побудовані за допомогою програми Power Graph Professional v.3.3., процес зварювання проходить без коротких замикань та з задовільною стабільністю процесу горіння дуги.

За результатами хімічного аналізу склад наплавленого металу відповідає заданому типу легування 06Х20Н9Г2Б згідно з ГОСТ 10052-75. Оцінку вмісту феритної фази в наплавленому металі проводили об'ємним магнітним методом з використанням феритометра марки МФ-10i. Вміст феритної складової в металі шва типу 06Х20Н9Г2Б згідно з ГОСТ 9466-75

має бути в межах 4—10 мас. %. Структура металу шва — аустеніт + 6 %  $\alpha$ -фази. Випробування зварних з'єднань на схильність до міжкристалітної корозії проводили за методом «АМ» згідно з ГОСТ 6032-2003. Аналіз зразків після випробувань показали повну відсутність міжкристалітної корозії.

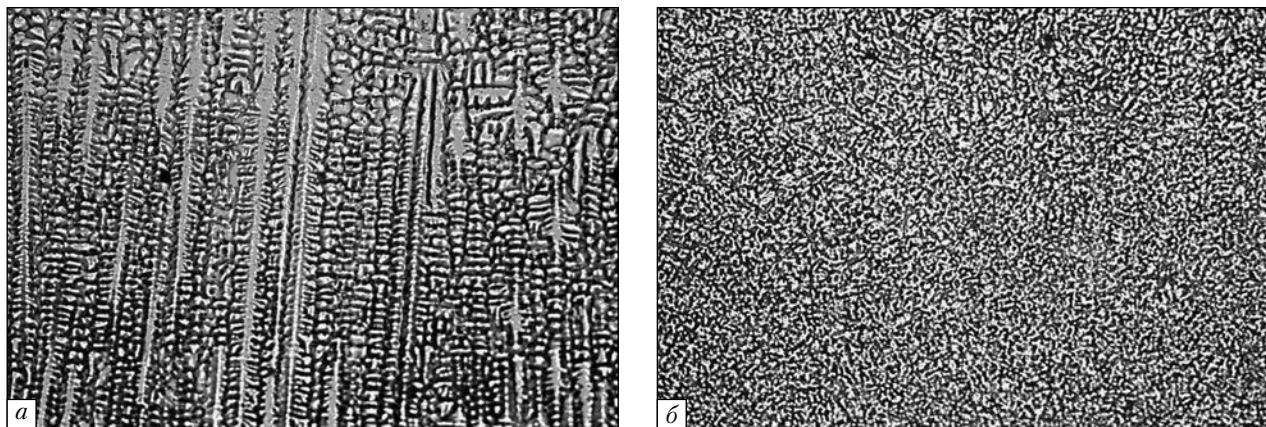
Результати аналізу хімічного складу наплавленого металу при підводному зварюванні дослідним дротом, наведені в табл. 2, практично повністю збігаються з даними при зварюванні самозахисним порошковим дротом при зварюванні на повітрі.

Вміст водню, кисню та азоту визначали з останнього шва семишарового наплавлення. Ре-

*Таблиця 3*  
**Вміст газів в наплавленому металі  
при мокрому підводному зварюванні  
та при зварюванні на повітрі**

Середовище зварювання	Вміст газів в наплавленому металі		
	мас. %		см <sup>3</sup> /100г
	[N]	[O]	[H]
Повітря	0,06	0,05	10,5
Вода	0,03	0,07	27,0

*Примітка.* В таблиці наведено середні дані трьох вимірювань вмісту водню і кисню в зразках МІ-99, вирізаних з останнього шару наплавлень.



**Рис. 6.** Мікроструктури металу швів, зварених на повітрі (а) і під водою (б)

**Таблиця 4**

**Механічні властивості металу шва і зварного з'єднання при мокрому підводному зварюванні високолегованої корозійностійкої сталі типу 18-10 порошковим самозахисним дротом ПП-АНВ-25 при температурі випробувань 20 °C**

Межа текучості $\sigma_{0,2}$ , МПа	Тимчасовий опір роздрібу $\sigma_b$ , МПа	Відносне подовження $\delta$ , %	Відносне звуження $\Psi$ , %	Ударна в'язкість $a_k$ , Дж/см <sup>2</sup>	Кут загину, град. $R = t$
350,8	623,3	25,7	28,7	90,3	68...103

зультати вмісту газів наплавленого металу наведено в табл. 3.

Механічні властивості металу шва і зварного з'єднання наведено в табл. 4, а зовнішній вигляд зварних зразків на рис. 5.

Отримані результати механічних випробувань задоволяють вимогам класу В міжнародного стандарту з підводного зварювання ANSI / AWS D3.6.

Металографічні дослідження металу шва показали, що при мокрому підводному зварюванні загальна кількість неметалічних включенів збільшується майже в 2 рази, але вони дисперсні і рівномірно розподілені по перерізу шва. Структура металу шва в значній мірі подрібнюється – розмір зерен зменшується більш ніж у 3 рази (рис. 6).

Розрахункові дані, наведені в роботі [9], показують, що проведення зварюально-ремонтних робіт з використанням технології механізованого підводного зварювання самозахисним порошковим дротом марки ПП-АНВ-25 у по-

рівнянні з технологією ручного дугового зварювання покритими електродами скорочують час виконання робіт і сумарну вартість ремонту об'єкта в 2,63 рази.

## ВИСНОВКИ

1. Результати випробувань показали, що розроблений вперше в світовій практиці самозахисний порошковий дріт марки ПП-АНВ-25 забезпечує необхідний хімічний склад і механічні властивості згідно з ГОСТ 10052-75 і вимогами класу В міжнародного стандарту підводного зварювання ANSI / AWS D 3.6-92.

2. Новий порошковий дріт марки ПП-АНВ-25 дозволяє підвищити продуктивність і якість підводних зварюально-ремонтних робіт, отримати економічний ефект за рахунок скорочення часу простою виробничого циклу об'єкта, що ремонтується.

3. Застосування механізованого способу зварювання самозахисним порошковим дротом дозволяє зменшити шкоду здоров'ю водолаза-

зварника за рахунок меншого часу перебування в радіоактивному середовищі, а в перспективі — за рахунок автоматизації процесу повністю виключити участь людини при зварюванні відповідальних конструкцій в особливо небезпечних умовах.

#### ЛІТЕРАТУРА

1. R. Hancock. Underwater nuclear // Welding Journal. — 2003. — № 9. — P. 48—49.
2. J.E. O'Sullivan. Wet underwater weld repair of Susquehanna unit 1 steam dryer // Welding journal. — 1988. — № 6. — P. 19—23.
3. Подушка М.Н., Рыстенков А.Н., Скалоубов В.И., Kovriжкин Ю.Л. Проект и перспективы программы оптимизации планирования и управления ремонтных кампаний энергоблоков Запорожской АЭС // Проблеми безпеки атомних електростанцій і Чорнобиля. Вип. 15, 2011. С. 35—41.
4. Авилов Т.И. Исследование процесса дуговой сварки под водой // Сварочное производство. — 1958. — N 5. — С. 12—14.
5. Кононенко В.Я. Подводная сварка и резка. — К.: Університет «Україна», 2011. — 264 с.
6. Мадатов Н.М. Подводная сварка и резка металлов. — Л.: Судостроение, 1967. — 164 с.
7. Лесков Г.И., Потиха О.М. Энергетические параметры дуги в условиях гидростатического давления до 5 МПа // Автомат. сварка. — 1999. — № 1. — С. 15—18.
8. Лесков Г.И. Энергетические характеристики дуги со стальными электродами в атмосфере водорода // Автомат. сварка. — 1993. — № 10. — С. 3—5.
9. Каховський М.Ю. Порошковий самозахисний дріт для підводного зварювання високолегованої корозійностійкої сталі 12Х18Н10Т // Молодий вчений. — 2014. — № 11. — С. 12—15.

#### REFERENCES

1. R. Hancock. Underwater nuclear. *Welding Journal*. 2003, N9: 48—49.
2. J.E. O'Sullivan. Wet underwater weld repair of Susquehanna unit 1 steam dryer. *Welding journal*. 1988, N6: 19—23.
3. Podushka M.N., Rystenkov A.N., Skalozubov V.I., Kovrizhkin Ju.L. Proekt i perspektivy programmy optimizacii planirovaniya i upravlenija remontnyh kampanij jenergo-blokov Zaporozhskoj AJeS. *Problemi bezpeki atomnih elektrostancij i Chornobila*. Vip. 15, 2011: 35—41 [in Russian].
4. Avilov T.I. Issledovanie processa dugovoj svarki pod vodoj. *Svarochnoe proizvodstvo*. 1958, N5: 12—14 [in Russian].
5. Kononenko V.Ja. *Podvodnaja svarka i rezka*. Kyiv: Universitet Ukraina, 2011 [in Russian].

6. Madatov N.M. *Podvodnaja svarka i rezka metallov*. Lenin-grad: Sudostroenie, 1967 [in Russian].
7. Leskov G.I., Poticha O.M. Jenergeticheskie parametry dugi v uslovijah hidrostaticeskogo davlenija do 5 MPa. *Avtomat. svarka*. 1999, N1: 15—18 [in Russian].
8. Leskov G.I. Jenergeticheskie harakteristiki dugi so stalnymi elektrodami v atmosfere vodoroda. *Avtomat.svarka*. 1993, N10: 3—5 [in Russian].
9. Kahov's'kyj M.Ju. Poroshkovyy samozahysnyj drit dlja pividnogozvarjuvannjavysokolegovanoj'korozijnostijkoi' stali 12 H18N10T. *Molodij vchenyyj*. 2014, N11: 12—15 [in Ukrainian].

*Н.Ю. Каховский*

Інститут електросварки ім. Е.О. Патона  
НАН України, Київ

#### ІННОВАЦІОННА ТЕХНОЛОГІЯ МЕХАНІЗІРОВАННОЇ МОКРОЇ ПОДВОДНОЇ СВАРКИ ВЫСОКОЛЕГИРОВАННОЇ КОРРОЗІОННОСТОЙКОЇ СТАЛИ

Изложены результаты проведения сварочно-ремонтных работ самозащитной порошковой проволокой при мокрой подводной сварке высоколегированных коррозионностойких сталей типа 18-10. Применение данной технологии позволяет уменьшить участие человека в процессе сварки в экстремальных условиях. Практическая ценность этой технологии заключается в возможности выполнения сварочно-ремонтных работ непосредственно под водой без каких-либо дополнительных монтажных работ.

**Ключевые слова:** мокрая подводная сварка, сталь 12Х18Н10Т, АЭС, самозащитная порошковая проволока, FCAW, покрытие электроды.

*M.Yu. Kakhovskyi*

Paton Electric Welding Institute, NAS of Ukraine, Kyiv

#### INNOVATIVE TECHNOLOGY OF MECHANIZED WET UNDERWATER WELDING OF HIGH-ALLOY CORROSION-RESISTANT STEEL

The results of the practice of welding-repair technology using self-shielded flux-cored wire for wet underwater welding of high-alloy stainless steels type 18-10 are presented. The application of the technology allows reducing human participation in welding process under the extreme conditions. The practical value of the technology consists in the possibility of welding-repair works directly under water without any additional assembly works.

**Keywords:** wet underwater welding, steel 12Cr18Ni10Ti, NPS, self-shielding flux-cored wire, FCAW, covered electrodes.

Стаття надійшла до редакції 26.03.15